

05;11;12

## Флуктуационно-электромагнитное взаимодействие зонда сканирующего микроскопа с поверхностью твердого тела

© Г.В. Дедков, А.А. Кясов

Кабардино-Балкарский государственный университет, Нальчик

Поступило в Редакцию 22 декабря 1998 г.

В рамках флуктуационной электромагнитной теории получена общая формула для латеральной фрикционной силы, действующей на зонд сканирующего микроскопа, движущегося параллельно поверхности со скоростью  $V$ . Анализируется вклад в эту силу различных механизмов поляризации. Получены зависимости латеральных сил от скорости, радиуса кривизны и расстояния зонда от поверхности, температуры и диэлектрических характеристик трибоконтакта. Впервые показано, что латеральные силы могут менять знак и становиться ускоряющими при определенном сочетании диэлектрических функций зонда и поверхности.

Эксперименты, проводимые с атомно-силовым и другими типами сканирующих зондирующих микроскопов, делают актуальной постановку ряда вопросов, связанных с ролью различных механизмов латерального фрикционного взаимодействия чувствительного элемента — иглы с поверхностью образца. Одним из таких механизмов, как отмечалось в работах [1–4], является динамическое (зависящее от скорости острия) флуктуационно-электромагнитное взаимодействие, приводящее к тормозящей силе вида

$$\mathbf{F} = -\eta\mathbf{V}, \quad (1)$$

где коэффициент  $\eta$  зависит от формы зонда и расстояния  $z$  его апекса от поверхности, а также от диэлектрических свойств системы. Формула (1) соответствует первому неисчезающему члену разложения по скорости, справедливому при малых  $V$ .

При типичных значениях параметров сканирования (частота поперечной развертки 1–10 kHz, размер кадра 10–1000 nm) скорость движения зонда составляет  $10^{-6}$ – $10^{-2}$  m/s, но в вибрационном режиме может достигать 1–10 m/s. Возможно, что такие или даже несколько большие скорости характерны и для наблюдаемого в экспериментах

скачкообразного движения острия при более жестком контакте ("stick-slip-motion") [5].

Анализ существующих работ, посвященных расчету  $\eta$  для нерелятивистского сферического атома, движущегося параллельно поверхности, показывает отсутствие ясности как в значении показателя степени зависимости  $\eta$  от расстояния  $z$  до поверхности, так и в величине численного коэффициента. Например, в одной из первых работ по этому вопросу была получена зависимость  $\eta \sim z^{-10}$  [6], а затем в работах [7–8], а также в нашей работе [9] — зависимость  $\eta \sim z^{-5}$ . В данной работе, не ограничиваясь условием нулевой температуры  $T$ , использованным в [9], нами получена более общая формула для латеральной силы, действующей на движущийся нерелятивистский атом:

$$F(z, V) = \frac{2\hbar}{\pi^2 V} \int d\omega \iint dk_x dk_y k \exp(-2kz) \operatorname{cth}\left(\frac{\omega\hbar}{2kT}\right) \times \left\{ (\omega + k_x V) \left[ \Delta''(\omega) \alpha''(\omega + k_x V) - \Delta''(\omega + k_x V) \alpha''(\omega) \right] + (\omega - k_x V) \left[ \Delta''(\omega) \alpha''(\omega - k_x V) - \Delta''(\omega - k_x V) \alpha''(\omega) \right] \right\}, \quad (2)$$

где  $k = \sqrt{k_x^2 + k_y^2}$ ,  $\alpha''(\omega) = \operatorname{Im}(\omega)$ ,  $\Delta''(\omega) = \operatorname{Im}\left(\frac{\varepsilon(\omega)-1}{\varepsilon(\omega)+1}\right)$ , причем  $\alpha(\omega)$  — динамическая поляризуемость атома, а  $\varepsilon(\omega)$  — диэлектрическая функция поверхности. Интегрирование осуществляется по положительным частотам и положительным значениям проекций волновых векторов  $k_x$  и  $k_y$ .

Нетрудно видеть, что разложение силы (2) вряд при малых скоростях (скорости, характерные для зондирующих микроскопов, могут считаться малыми) содержит только нечетные степени  $V$ . В частности, в линейном приближении для коэффициента  $\eta$  после интегрирования по волновым векторам будем иметь

$$\eta(z) = \frac{3\hbar}{8\pi z^5} \int_0^\infty d\omega \left\{ 2 \left[ \alpha''(\omega) \frac{d\Delta''(\omega)}{d\omega} - \Delta''(\omega) \frac{d\alpha''(\omega)}{d\omega} \right] + \omega \left[ \alpha''(\omega) \frac{d^2\Delta''(\omega)}{d\omega^2} - \Delta''(\omega) \frac{d^2\alpha''(\omega)}{d\omega^2} \right] \right\} \operatorname{cth}\left(\frac{\omega\hbar}{2kT}\right). \quad (3)$$

Главное отличие этой формулы от аналогичной в [8] состоит в том, что под знаком интеграла дифференцируется не распределение Планка, а диэлектрическая часть (заметим, что гиперболический котангенс в (3) в отличие от распределения Планка учитывает также нулевые колебания). Поэтому  $\eta(z) \neq 0$  при  $T = 0$  (ср. с формулами (63) и (65) в [8]). В последнем случае после упрощений, связанных с интегрированием по частям, формула (7) приводится к более компактному виду

$$\eta(z) = \frac{3\hbar}{4\pi z^5} \int_0^{\infty} d\omega \alpha''(\omega) \frac{d\Delta''(\omega)}{d\omega}. \quad (4)$$

Заметим, что эта формула отличается дополнительным коэффициентом 1/2 от использованной в [2–3], поскольку в последних работах в (3) не было учтено слагаемое со вторыми производными.

Для расчета силы торможения протяженного тела (зонда микроскопа), движущегося со скоростью  $V$  над поверхностью, при строгом решении задачи необходимо рассчитать спектр электромагнитных флуктуаций для произвольной геометрической формы острия, что представляет очень трудоемкую задачу, поэтому в первом приближении воспользуемся аддитивным суммированием сил на основе полученных выше формул. В пользу возможности применения приближения аддитивности свидетельствуют результаты расчета ван-дер-ваальсовых сил в работах [10–12], в которых показано, что геометрические эффекты не превышают 20–25% в худшем случае (чаще же они значительно меньше) и не влияют на степенной закон изменения силы с расстоянием от поверхности.

Предполагая, что острие имеет форму параболоида вращения (с каноническим уравнением поверхности  $z = (x^2 + y^2)/2R + h$ ,  $R$  — радиус кривизны,  $h$  — расстояние апекса зонда от поверхности), проинтегрируем формулу (3) по объему острия, причем поляризуемость атома  $\alpha(\omega)$  предварительно выразим по формуле Клаузиуса–Моссотти. В результате в линейном по скорости приближении получим

$$\eta(z) = \frac{3}{64\pi} \frac{\hbar R}{h^3} J(\varepsilon_1(\omega), \varepsilon(\omega)), \quad (5)$$

где функционал  $J(\varepsilon_1(\omega), \varepsilon(\omega))$  определяется выражением

$$J(\varepsilon_1(\omega), \varepsilon(\omega)) = \int_0^{\infty} \operatorname{cth}\left(\frac{\omega\hbar}{2kT}\right) \left\{ 2 \left[ \tilde{\Delta}''(\omega) \frac{d\Delta''(\omega)}{d\omega} - \Delta''(\omega) \frac{d\tilde{\Delta}''(\omega)}{d\omega} \right] + \omega \left[ \tilde{\Delta}''(\omega) \frac{d^2\Delta''(\omega)}{d\omega^2} - \Delta''(\omega) \frac{d^2\tilde{\Delta}''(\omega)}{d\omega^2} \right] \right\} d\omega, \quad (6)$$

причем  $\tilde{\Delta}''(\omega) = \operatorname{Im} \left[ \frac{\varepsilon_1(\omega) - 1}{\varepsilon_1(\omega) + 2} \right]$ , а  $\varepsilon_1(\omega)$  — диэлектрическая проницаемость остря.

Зависимость функционала  $J(\varepsilon_1(\omega), \varepsilon(\omega))$  от температуры велика в том случае, когда  $\omega\hbar \leq 2kT$  и  $\operatorname{cth}(x) \rightarrow x^{-1}$ , а основной вклад в интеграл связан с низкочастотной областью спектра. Так как при комнатной температуре  $2kT \approx 0.05$  эВ, то к числу соответствующих поляризационных механизмов относятся процессы дипольной релаксации в диэлектриках, инфракрасного поглощения в ионных кристаллах и низкочастотного поглощения в проводящих (в области длин волн  $20 \mu\text{m} - 0.2 \text{m}$ ). В этих случаях, очевидно, коэффициент трения  $\eta$  пропорционален температуре, если не учитывать ее влияние на входящие в интеграл диэлектрические проницаемости. Для оптических механизмов поглощения температурная зависимость подынтегрального выражения в (6) отсутствует и можно пользоваться формулой, аналогичной (4):

$$J(\varepsilon_1(\omega), \varepsilon(\omega)) = 2 \int \tilde{\Delta}''(\omega) \frac{d\Delta''(\omega)}{d\omega} d\omega. \quad (7)$$

Перейдем к численной оценке сил трения в трибоконтактах с различными механизмами поляризуемости, воспользовавшись известными выражениями для диэлектрических функций:

а) диэлектрическая функция для ориентационного механизма в приближении Дебая ( $\tau$  — время релаксации,  $\varepsilon(0)$  — статическая диэлектрическая проницаемость)

$$\varepsilon(\omega) = 1 + \frac{\varepsilon(0) - 1}{1 - i\omega\tau}; \quad (8)$$

б) диэлектрическая функция ионных кристаллов вблизи пика инфракрасного поглощения ( $\omega_0$  — частота поперечного оптического фонона,

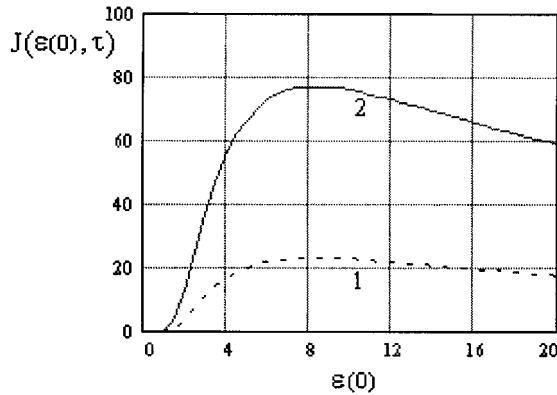
$\varepsilon(\infty)$  — высокочастотная диэлектрическая проницаемость,  $\gamma$  — ширина линии)

$$\varepsilon(\omega) = \varepsilon(\infty) + \frac{\varepsilon(0) - \varepsilon(\infty)}{1 - (\omega/\omega_0)^2 + i\gamma\omega/\omega_0^2}; \quad (9)$$

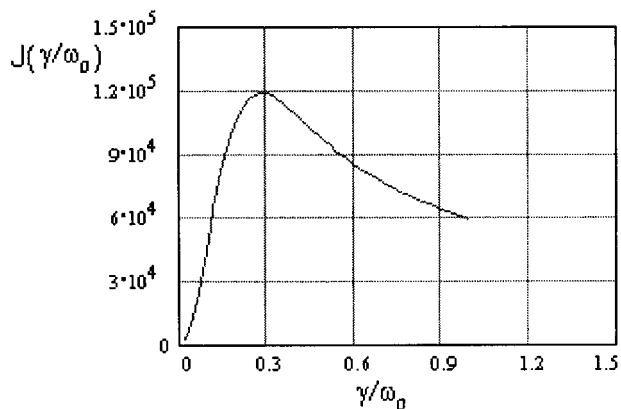
в) диэлектрическая функция проводящих кристаллов в приближении Друде ( $\omega_p$  — плазменная частота;  $\varepsilon(0) = 1$  в случае металлов)

$$\varepsilon(\omega) = \varepsilon(0) - \frac{(\omega_p\tau)^2}{1 + (\omega\tau)^2} + \frac{i(\omega_p\tau)^2}{\omega\tau(1 + (\omega\tau)^2)}. \quad (10)$$

Конкретные численные расчеты интеграла (14) проводились: 1) для контакта кварцевых стекол (формула (16) при различных значениях  $\varepsilon(0)$  и  $\tau$ ) — соответствующие зависимости показаны на рис. 1; 2) контакта ZnS–ZnS (формула (17) при  $\omega_0 = 0.005$  eV,  $\varepsilon(0) = 5.1$ ,  $\varepsilon(\infty) = 2.93$ ) — зависимость от ширины линии  $\gamma$  приведена на рис. 2; 3) для контакта проводящих кристаллов (металлов и полупроводников) — результаты расчета при различных значениях времени релаксации приведены в таблице (значения плазменных частот Ag и Au приняты равными 8.83 и 9.2 eV). Во всех случаях температура равнялась 300 К. Подстановка максимальных из рассчитанных значений  $J$  в формулы (5) и (1) при



**Рис. 1.** Зависимость интеграла  $J$  от статической диэлектрической проницаемости и времени релаксации контакта кварц–кварц в случае механизма ориентационной дипольной поляризуемости (1 —  $\tau = 310^{-10}$  s, 2 —  $\tau = 10^{-9}$  s).



**Рис. 2.** Зависимость интеграла  $J$  от относительной ширины линии инфракрасного поглощения в трибоконтакте ZnS–ZnS.

$z = 0.2 \text{ nm}$ ,  $R = 20 \text{ nm}$ ,  $V = 1 \text{ m/s}$  дает оценки соответствующих сил трения на уровне  $11 \text{ pN}$ ,  $0.47 \text{ nN}$  и  $0.36 \text{ pN}$ . Эти значения находятся в пределах экспериментальных возможностей современной зондовой микроскопии.

Более интригующим результатом расчетов (см. таблицу) является возможность изменения знака коэффициента  $\eta$ , т. е. в итоге мы получаем ускоряющую силу на острие при определенном сочетании диэлектрических функций трибопартнеров.

Результаты расчета интеграла  $J$  для проводящих кристаллов

Контакт	$\tau, s$	$J$
Si–Si	$10^{-11}$	9.6
Si–Si	$10^{-15}$	65.4
Ag–Ag	$6 \cdot 10^{-15}$	76.2
Au–Au	$3.8 \cdot 10^{-15}$	46.3
Si–Au	$3.8 \cdot 10^{-15}$	16.7
Ge–Si	$10^{-14}$	–0.23
Ge–Au	$3.8 \cdot 10^{-15}$	–8.2

Таким образом, результаты данной работы свидетельствуют о возможности экспериментального обнаружения флуктуационно-электромагнитных сил разного знака с характерными зависимостями от температуры, радиуса зонда и расстояния его апекса от поверхности. Измерение этих сил может дать основу для применений трибоконтактов в изучении диэлектрических свойств твердых тел на наноструктурном уровне. Кроме того, их необходимо учитывать при прохождении нейтральных пучков в прямых и изогнутых нанотрубках (см., например, [13]).

## Список литературы

- [1] *Levitov L.S.* // Europhys. Lett. 1989. V. 8. P. 499.
- [2] *Dedkov G.V.* // Proc. of the 8th Int. Conf. on Tribology / Ed. by S.S. Eskildsen, D.S. Larsen, H. Reitz, E.L. Bienk, C.A. Straede, Aarhus, Denmark. 1998. V. 1. P. 47. (В ссылке [17] этой статьи вместо цитируемой работы следовало указать работу [9] данного списка).
- [3] *Dedkov G.V.* // Materials Lett. 1998 (in print).
- [4] *Дедков Г.В.* // Письма в ЖТФ. 1999. Т. 25. В. 2. С. 61–67.
- [5] *Lanz M.A., O'Shea J., Welland M.E.* et al. // Phys. Rev. 1997. B55. N 16. P. 10 776.
- [6] *Schaich W.L., Harris A.* // J. Phys. F: Metal Phys. 1981. V. 11. N 1. P. 65.
- [7] *Mahanti J.* // J. Phys. B: At. Mol. Phys. 1980. V. 13. N 22. P. 4396.
- [8] *Tomassone M.S., Widom A.* // Phys. Rev. 1997. B56. N 8. P. 4938.
- [9] *Кясов А.А.* // Сб. науч. тр. / Под ред. В.Е. Фортова, Е.А. Кузьменкова. М.: ИФВТАН, 1991. С. 122.
- [10] *Moiseev Yu.N., Mostepanenko V.M., Popov V.I.* // Phys. Lett. 1988. V. 132A. N 6–7. P. 354.
- [11] *Мусеев Ю.Н., Мостепаненко В.М., Панов В.И.* // ЖТФ. 1990. Т. 60. № 1. С. 141.
- [12] *Johansson P., Apell P.* // Phys. Rev. 1997. B56. N 7. P. 4159.
- [13] *Dedkov G.V.* // Nucl. Instr. & Meth. 1998. B 143. P. 584.